

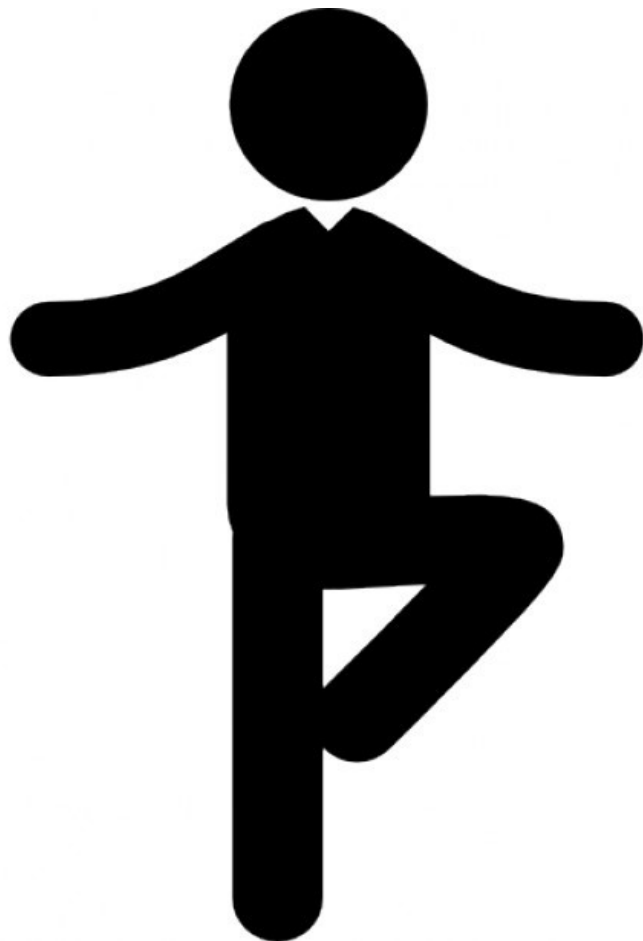


***LABORATORIO DI
BIOMECCANICA
FUNZIONALE CENTRO
BERNSTEIN***

SCHEDA ANAGRAFICA PAZIENTE

Cognome: Di Stefano	Nome: Giovanna
Data di nascita: 07-02-1940	Sesso: F
Peso: 70.1 kg	Altezza: 1.60 m
Data della valutazione: 25-09-2018	Tipo di valutazione: Stabilo + Gait
Valutazioni precedenti: NN	

*Analisi
Stabilometrica*



ANALISI LATO DESTRO

Grafico: Movimento del CoP

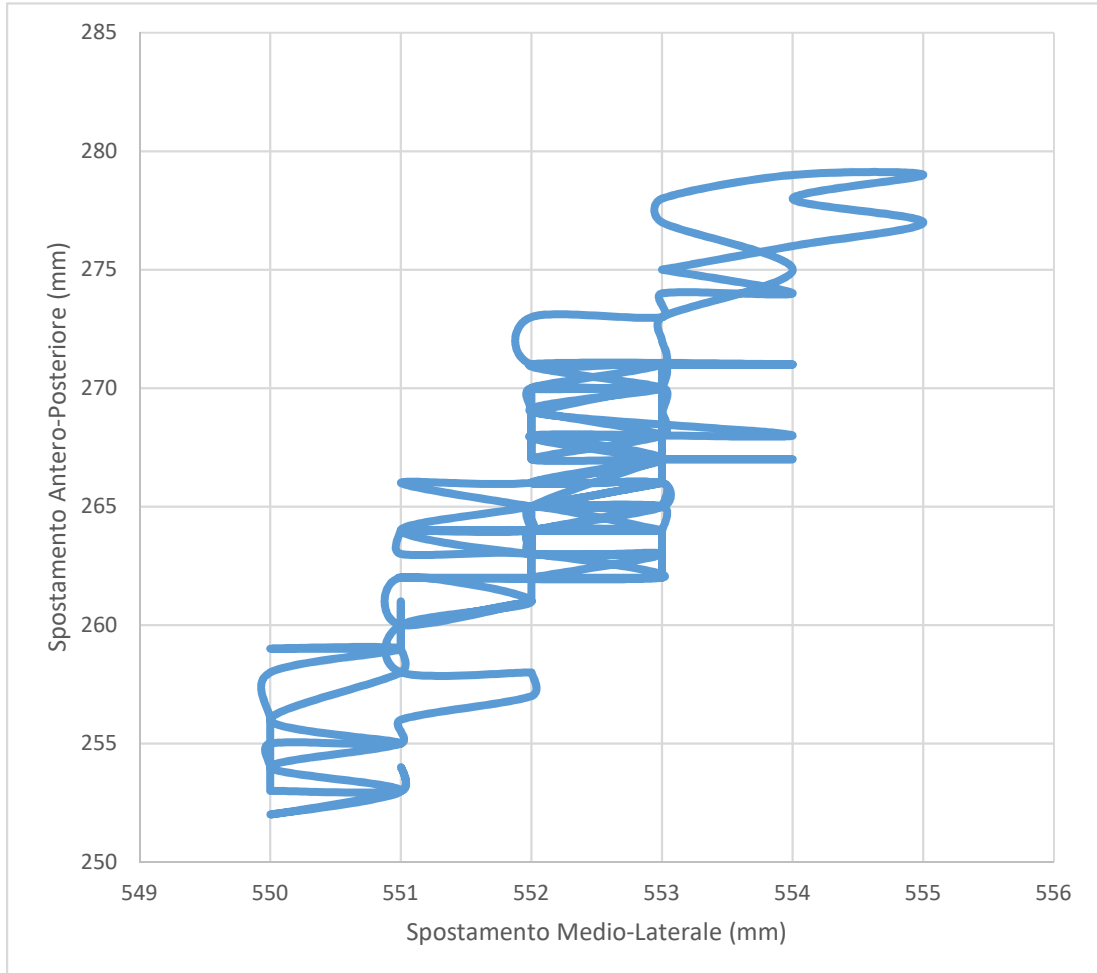


Tabella riassuntiva

Dati CoP	
Distanza Percorsa AP (mm)	274,000
% Spostamento AP	38,646
Distanza Percorsa ML (mm)	435,000
% Spostamento ML	61,354
Distanza Percorsa Totale (mm)	622,050
Angolo deviazione asse AP (°)	33,727

Analisi Area Ellisse Standard	
Ellisse Maggiore (mm)	5,535
Ellisse Minore (mm)	0,631
Coefficiente Angolare (°)	-84,422
Area Ellisse (mm ²)	10,961

Legenda

% Spostamento AP e ML:

- Compresa tra 55-45 % Buona Simmetria fra le due direzioni;
- >55% Spostamento maggiore su questa direzione;
- < 45% Spostamento minore su questa direzione;

Area Ellisse Standard:

- <100 Controllo Buono
- >100 <150 Controllo Accettabile
- >150 <250 Controllo Ridotto
- >250 Controllo Molto Ridotto

ANALISI LATO SINISTRO

Grafico: Movimento del CoP

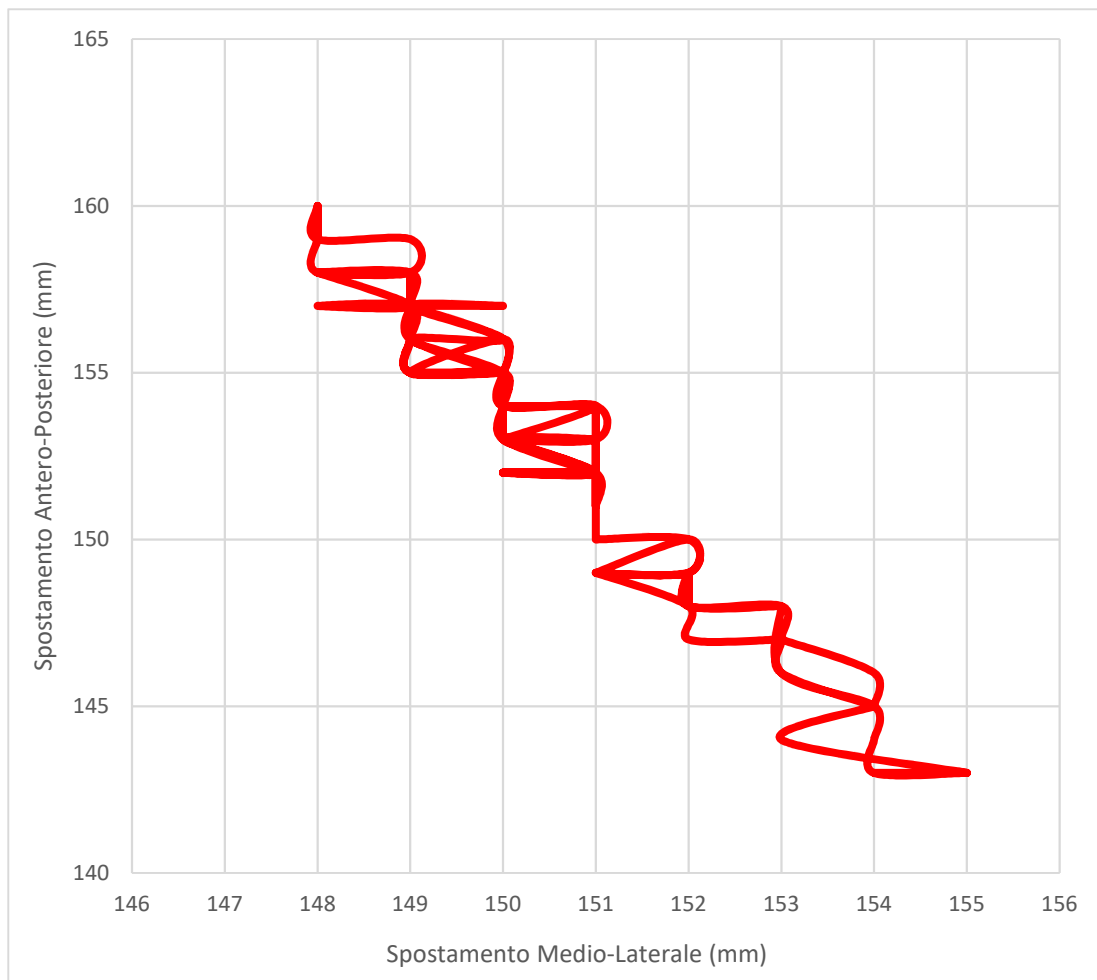


Tabella riassuntiva

Dati CoP	
Distanza Percorsa AP (mm)	211,000
% Spostamento AP	40,344
Distanza Percorsa ML (mm)	312,000
% Spostamento ML	59,656
Distanza Percorsa Totale (mm)	472,622
Angolo deviazione asse AP (°)	34,919

Analisi Area Ellisse Standard	
Ellisse Maggiore (mm)	4,364
Ellisse Minore (mm)	0,464
Coefficiente Angolare (°)	88,012
Area Ellisse (mm ²)	6,362

Legenda

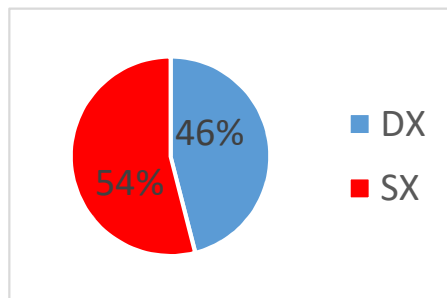
% Spostamento AP e ML:

- Compresa tra 55-45 % Buona Simmetria fra le due direzioni;
- >55% Spostamento maggiore su questa direzione;
- < 45% Spostamento minore su questa direzione;

Area Ellisse Standard:

- <100 Controllo Buono
- >100 <150 Controllo Accettabile
- >150 <250 Controllo Ridotto
- >250 Controllo Molto Ridotto

REFERTO



Distribuzione del carico fra i due lati

Riepilogo Spostamento CoP



COMMENTO:

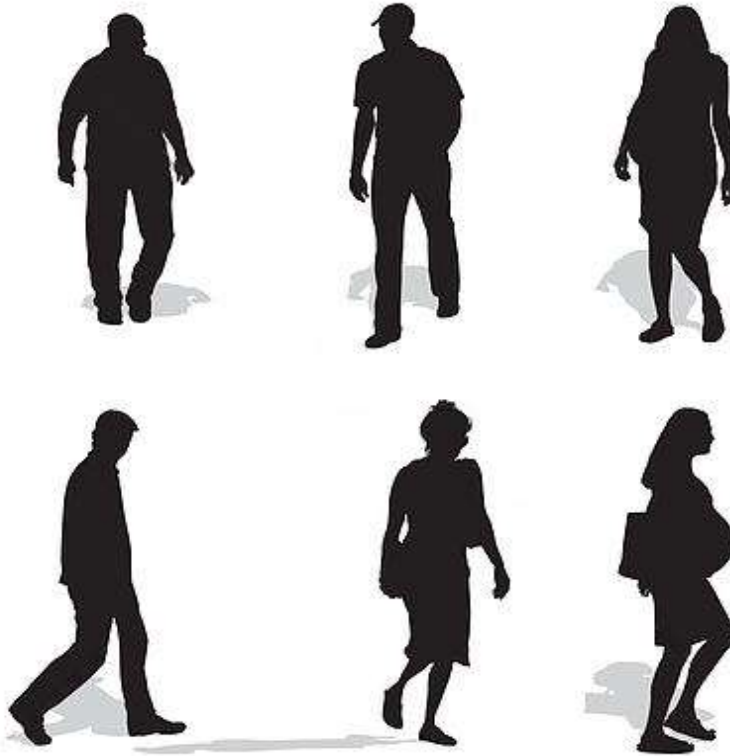
Il paziente non è riuscito ad eseguire il test in appoggio monopodalico quindi è stato eseguito il test in appoggio bipodalico.

Il paziente è riuscito a rimanere in equilibrio senza aiuto per circa 30 secondi. Durante il test è stato valutato il movimento del centro di pressione sia sull'arto destro che sul sinistro, con i piedi su piattaforme di forza distinte.

L'analisi delle oscillazioni del centro di pressione delle due piattaforme durante il test bipodalico ha evidenziato un ridotto numero di oscillazioni durante la prova. Su entrambi i lati si evidenzia un aumento delle oscillazioni sull'asse medio-laterale.

La prova mostra una dissimetria nella distribuzione del carico visto che il paziente mette il 54% del peso corporeo sull'arto sinistro e solo il 46% sul destro.

Analisi del Passo



ANALISI FORZA VERTICALE

Grafico

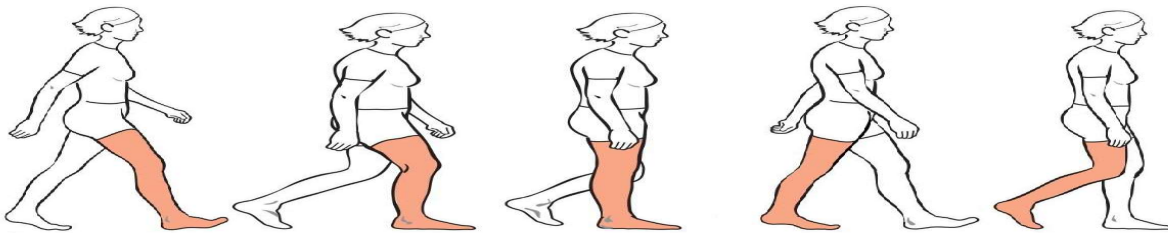
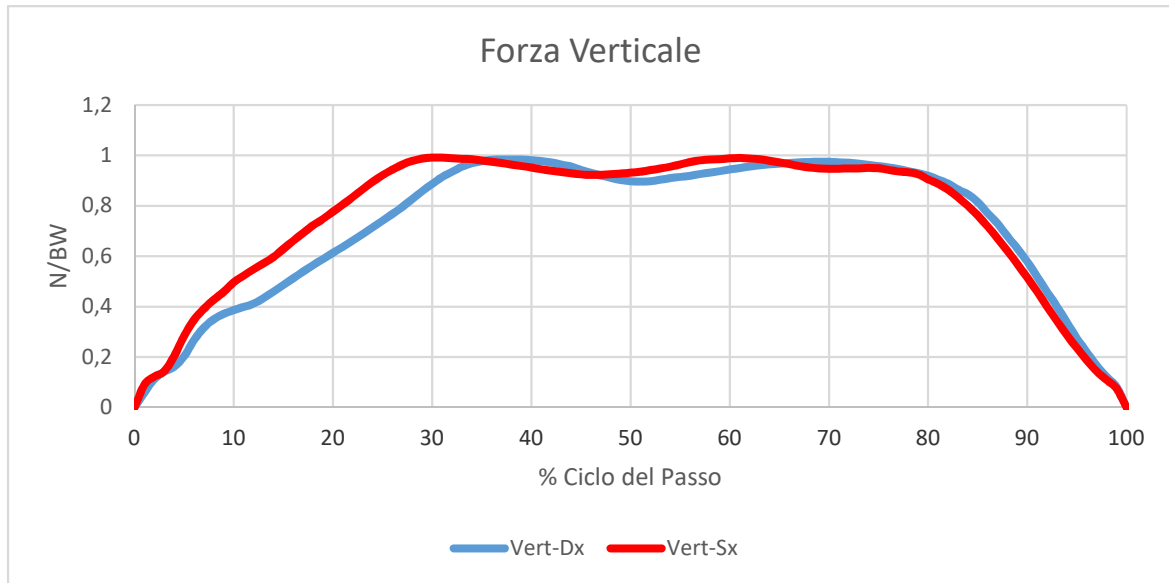


Tabella riassuntiva

	Sinistro	Destro	Differenza (%BW)	Ridotto
Accettazione del Carico (N/BW)	0,9917	0,9846	0,7119	DX
Ammortizzazione (N/BW)	0,9225	0,8581	6,4385	SX
Fase di Spinta (N/BW)	0,9902	0,9752	1,5014	DX
			Differenza (%)	
Area Curva (Ns/BW)	0,7589	0,7265	4,2803	DX
Correlazione	0,9705			

LEGENDA:

Legenda Differenza:

- Differenza < 3% Trascurabile
- Differenza 3-7% Leggera Riduzione
- Differenza 7-15% Media Riduzione
- Differenza >15% Marcata Riduzione

Correlazione:

- > 0.97 Buona Simmetria Pattern DX-SX
- 0.95-0.97 Discreta Simmetria Pattern DX-SX
- < 0.95 Ridotta Simmetria Pattern DX-SX

ANALISI FORZA ANTERO-POSTERIORE

Grafico

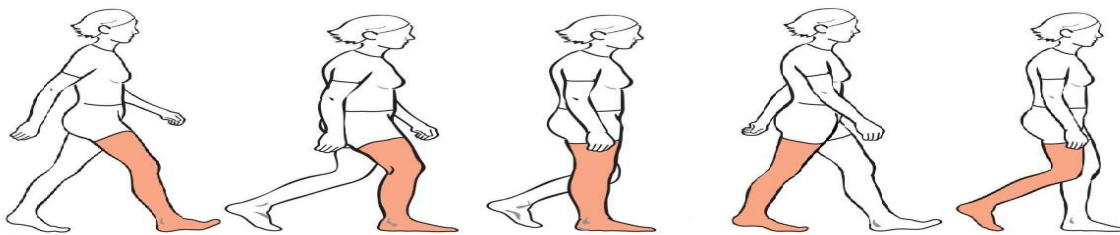
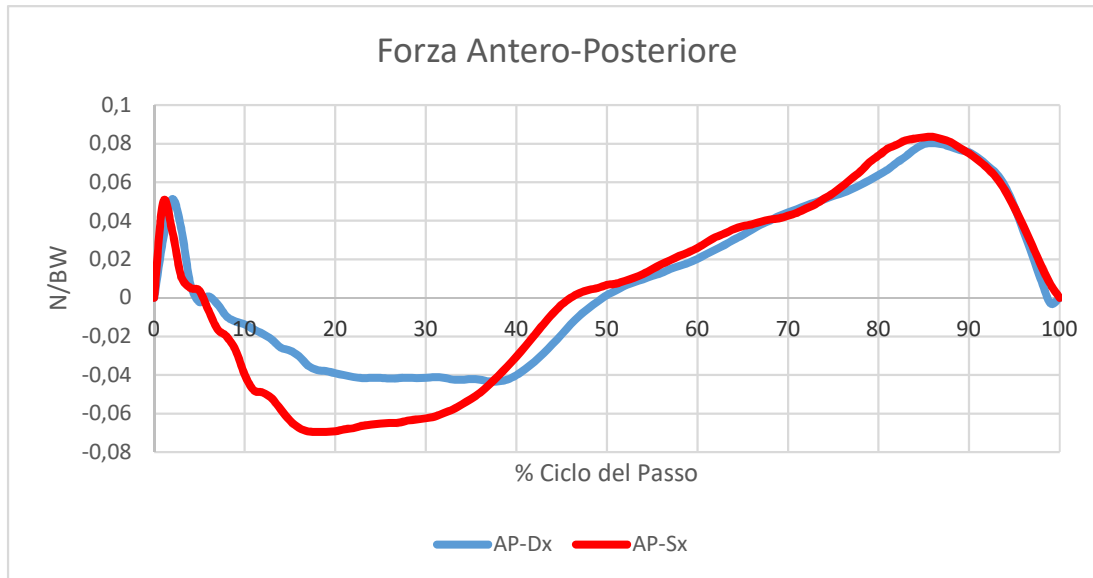


Tabella riassuntiva

	Sinistro	Destro	Differenza (%)	Ridotto
Picco Posteriore (N/BW)	0,0835	0,0802	3,9299	DX
Picco Anteriore (N/BW)	0,0696	0,0434	37,6948	DX
Area Posteriore (Ns/BW)	0,0242	0,0226	6,6509	DX
Area Anteriore (Ns/BW)	0,0193	0,0134	30,7256	DX
Area Totale (Ns/BW)	0,0436	0,0360	17,3413	DX
Correlazione	0,9673			

LEGENDA:

Legenda Differenza:

- Differenza < 15% Trascurabile
- Differenza >15% Riduzione Notabile

Correlazione:

- > 0.97 Buona Simmetria Pattern DX-SX
- 0.95-0.97 Discreta Simmetria Pattern DX-SX
- < 0.95 Ridotta Simmetria Pattern DX-SX

*Anteriore (direzione negativa) = spinta del piede verso la direzione del cammino;
Posteriore (direzione positiva) = spinta del piede contraria alla direzione del cammino;*

ANALISI FORZA MEDIO-LATERALE

Grafico

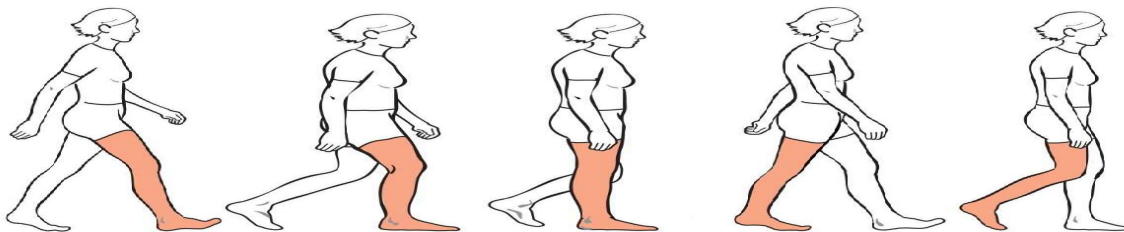
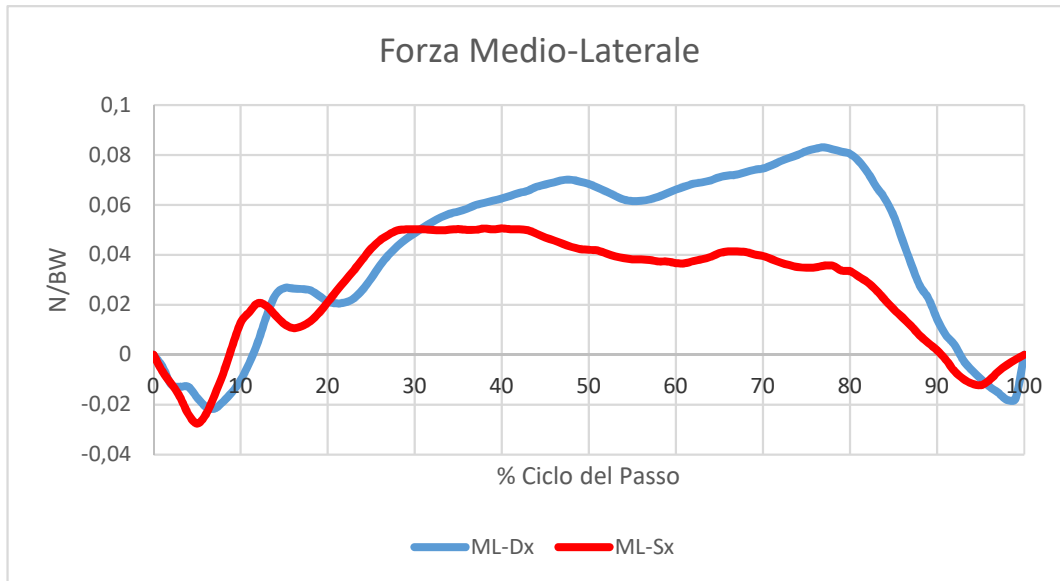


Tabella riassuntiva

	Sinistro	Destro	Differenza (%BW)	Ridotto
Picco Mediale (N/BW)	0,0275	0,0216	21,6316	DX
Picco Laterale (N/BW)	0,0506	0,0831	39,1218	SX
Area Mediale (Ns/BW)	0,0020	0,0023	13,7834	SX
Area Laterale (Ns/BW)	0,0286	0,0443	35,5012	SX
Area Totale (Ns/BW)	0,0306	0,0466	34,4285	SX
Correlazione	0,8483			

LEGENDA:

Legenda Differenza:

- Differenza < 15% Trascurabile
- Differenza >15% Riduzione Notabile

Correlazione:

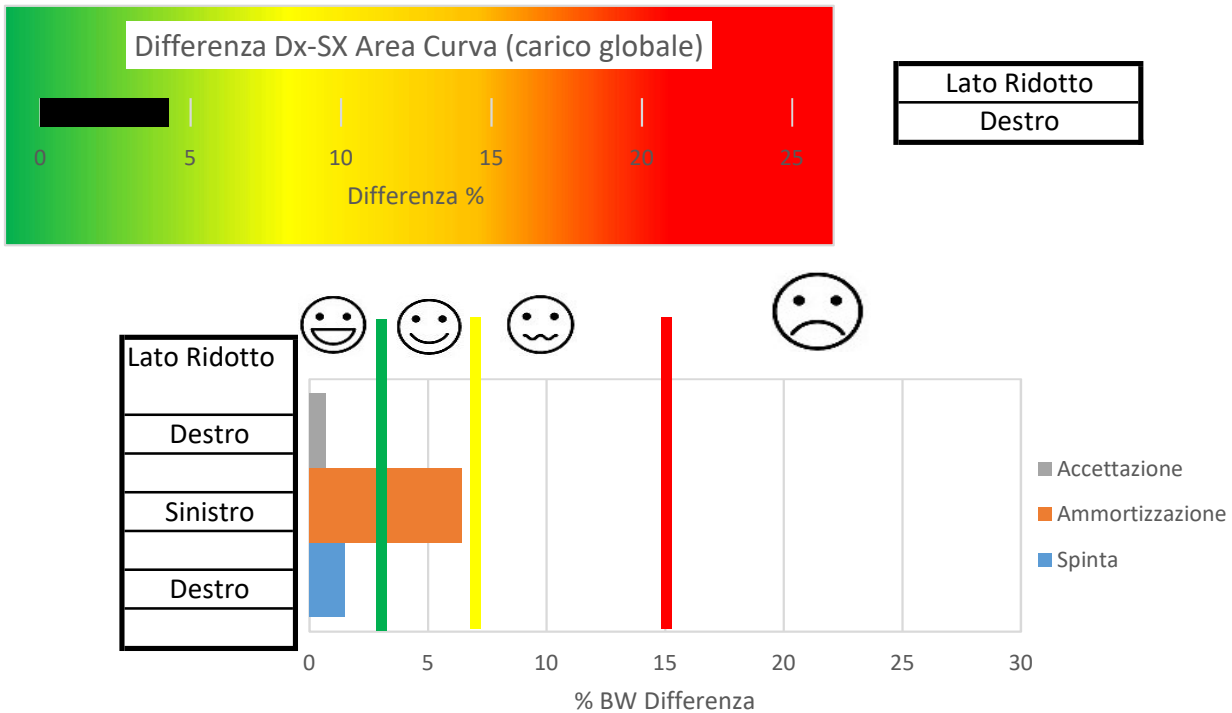
- > 0.95 Buona Simmetria Pattern DX-SX
- 0.90-0.95 Discreta Simmetria Pattern DX-SX
- < 0.90 Ridotta Simmetria Pattern DX-SX

Mediale (direzione negativa) = spinta del piede verso l'interno;

Laterale (direzione positiva) = spinta del piede verso l'esterno;

REFERTO

Riepilogo Forza verticale



Parametri temporali

Durata appoggio destro (s)	0,84
Durata appoggio sinistro (s)	0,90
Durata doppio appoggio (s)	0,25
velocità (m/s)	0,65

COMMENTO:

La misurazione delle reazioni vincolari al suolo evidenzia una riduzione, sull'asse verticale, dell'applicazione globale del carico bilaterale, più accentuata sul lato destro. In particolare si nota l'assenza dei picchi caratteristici di accettazione del carico e della fase di spinta.

Sull'asse antero-posteriore, ridotta la spinta anteriore nella fase di accettazione del carico sul lato destro

Sull'asse medio-laterale si evidenzia un aumento del carico laterale sul lato destro, che evidenzia una maggiore instabilità su questo lato

Discreta la simmetria fra i due lati per i pattern dell'appoggio negli assi antero-posteriore e verticale, ridotta sull'asse medio-laterale.

Velocità del passo ridotta rispetto alla norma. Marcatamente ridotto il tempo di appoggio sul lato destro.

Si nota una ridotta fase di ammortizzazione bilaterale che dimostra uno strascicare di entrambi i piedi durante la deambulazione.